



# Traitement des conditions aux limites de spécularité pour la résolution de l'ETR 3D en éléments finis

D. Le Hardy, Y. Favennec, A. Badri, B. Rousseau

27 novembre 2015

Céfo<sup>PR</sup>am



# Plan

- 1 Objectifs
- 2 Modèle mathématique
- 3 Construction du modèle numérique
- 4 Validation

# Caractérisation radiative infrarouge de matériaux semi-transparentes

Méthodes pour la caractérisation radiative :

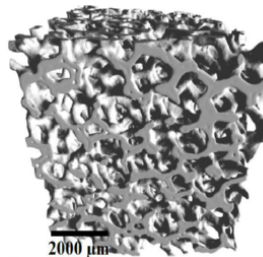
- Théorie de Mie (1D), (Dombrovsky, Milandri,...)
- Méthodes à  $N$  flux (1D), (Dombrovsky, Randrianalisoa, Baillis,...)
- Méthodes Numériques (1D), (Pilon, Moura, ...)

# Caractérisation radiative infrarouge de matériaux semi-transparents

Méthodes pour la caractérisation radiative :

- Théorie de Mie (1D), (Dombrovsky, Milandri,...)
- Méthodes à  $N$  flux (1D), (Dombrovsky, Randrianalisoa, Baillis,...)
- Méthodes Numériques (1D), (Pilon, Moura,...)

# 1D ?



# Caractérisation radiative infrarouge de matériaux semi-transparents

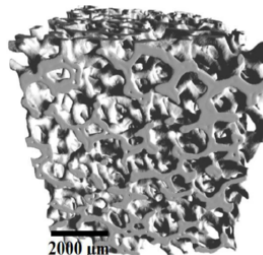
Méthodes pour la caractérisation radiative :

- Théorie de Mie (1D), (Dombrovsky, Milandri,...)
- Méthodes à  $N$  flux (1D), (Dombrovsky, Randrianalisoa, Baillis,...)
- Méthodes Numériques (1D), (Pilon, Moura,...)

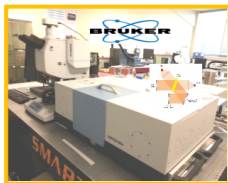
~~1D~~ ?



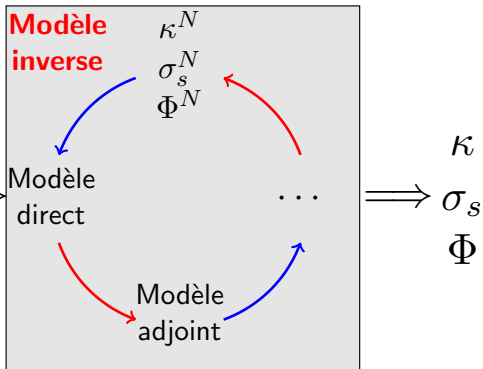
3D



# Problème inverse



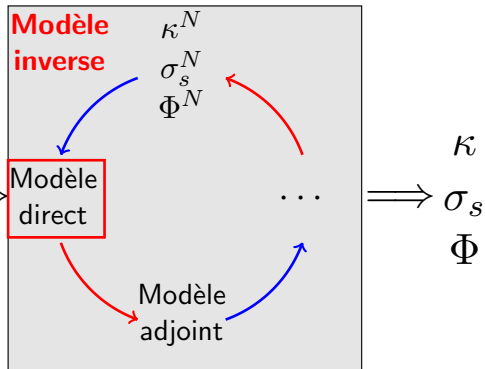
Données  
expérimentales  $\Rightarrow$



# Problème inverse



Données  
expérimentales  $\Rightarrow$



# Plan

- 1 Objectifs
- 2 Modèle mathématique**
- 3 Construction du modèle numérique
- 4 Validation

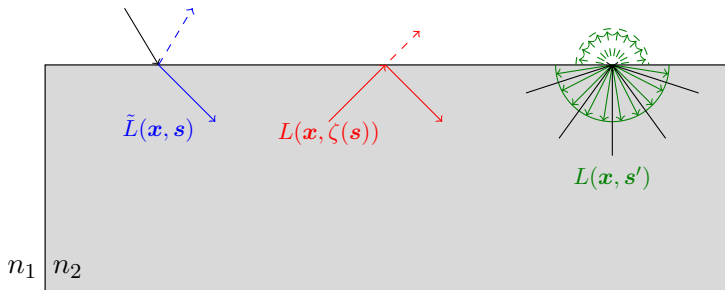


## Équation du transfert radiatif

$$\underbrace{\mathbf{s} \cdot \nabla L(\mathbf{x}, \mathbf{s})}_{\text{Transport}} + \underbrace{(\kappa + \sigma_s)L(\mathbf{x}, \mathbf{s})}_{\text{Pertes par absorption et diffusion}} = \underbrace{\int_{4\pi} \Phi(\mathbf{s}' \rightarrow \mathbf{s})L(\mathbf{x}, \mathbf{s}') \, d\mathbf{s}'}_{\text{Gain par diffusion}} + \underbrace{\kappa L_b(T)}_{\text{Emission propre}}$$

## Conditions aux limites

$$L(\mathbf{x}, \mathbf{s}) = \underbrace{\tilde{L}(\mathbf{x}, \mathbf{s})}_{\text{Luminance entrante}} + \underbrace{\rho(\mathbf{s} \cdot \mathbf{n})L(\mathbf{x}, \zeta(\mathbf{s}))}_{\text{Réflexion spéculaire}} + \underbrace{\frac{1 - \varepsilon}{\pi} \int_{\mathbf{s}' \cdot \mathbf{n} > 0} L(\mathbf{x}, \mathbf{s}') \mathbf{s}' \cdot \mathbf{n} \, d\mathbf{s}'}_{\text{Réflexion diffuse}}$$



## Réflectivité spéculaire

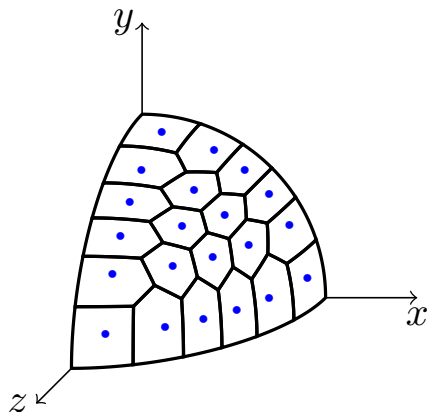
$$\rho(\mathbf{s} \cdot \mathbf{n}) = \begin{cases} 1 & \text{si } \theta_i \in ]\theta_{cr}, \frac{\pi}{2}[ \\ \frac{1}{2} \left[ \left( \frac{\sin(\theta_i - \theta_r)}{\sin(\theta_i + \theta_r)} \right)^2 + \left( \frac{\tan(\theta_i - \theta_r)}{\tan(\theta_i + \theta_r)} \right)^2 \right] & \text{si } \theta_i \in ]0, \theta_{cr}[ \\ \left( \frac{n_1 - n_2}{n_1 + n_2} \right)^2 & \text{si } \theta_i = 0 \end{cases}$$

avec  $n_1 \sin \theta_i = n_2 \sin \theta_r$  et  $\theta_{cr} = \arcsin(n_2/n_1)$

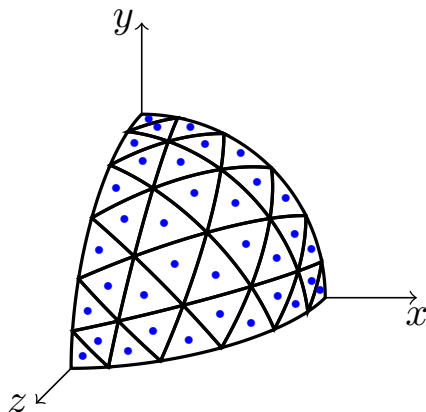
# Plan

- 1 Objectifs
- 2 Modèle mathématique
- 3 Construction du modèle numérique**
- 4 Validation

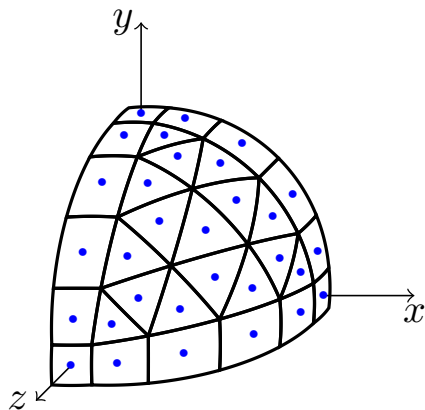
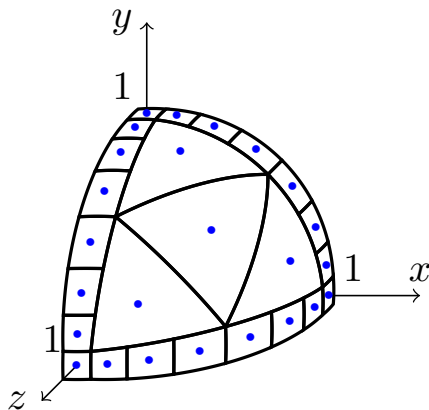
# Quadratures usuelles



$S_{12}$  [Lee - 1962]

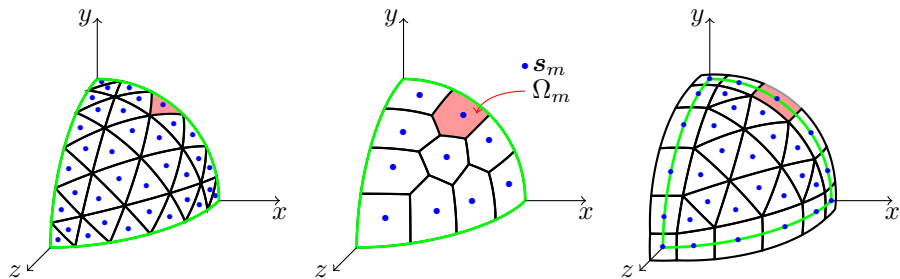


$T_6$  [Thurgood - 1995]

Nouvelle quadrature  $SqT_{n,p}$  $SqT_{6,4}$  $SqT_{8,2}$

# Méthode des ordonnées discrètes

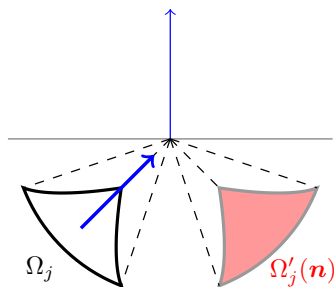
## Discrétisations angulaires 3D



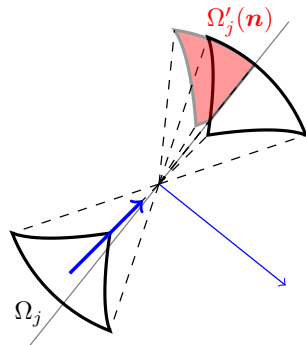
$$(\text{SDS}_{m}) : (\mathbf{s}_m \cdot \nabla + \beta) L(\mathbf{x}, \mathbf{s}_m) - \sigma_s \sum_{j=1}^{N_d} \omega_j L(\mathbf{x}, \mathbf{s}_j) \Phi_{m,j} = \kappa L_b(T)$$

avec  $\omega_m = \text{mes } \Omega_m$

# Différents cas de réflexion spéculaire



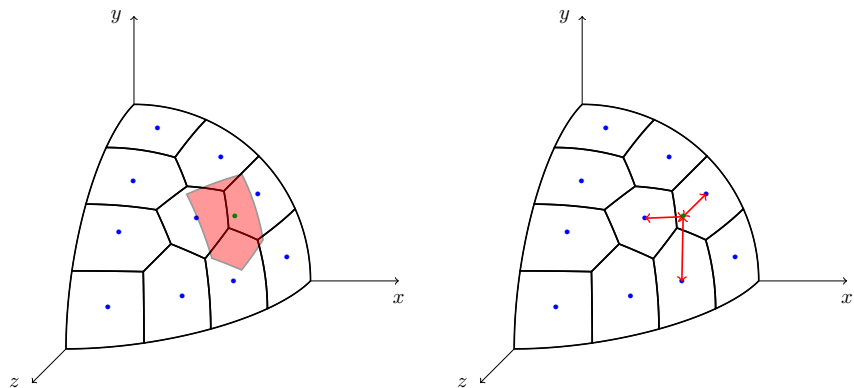
Toutes les directions de l'angle solide  $\Omega_j$  sont réfléchies



Seule une partie des directions de  $\Omega_j$  est réfléchie

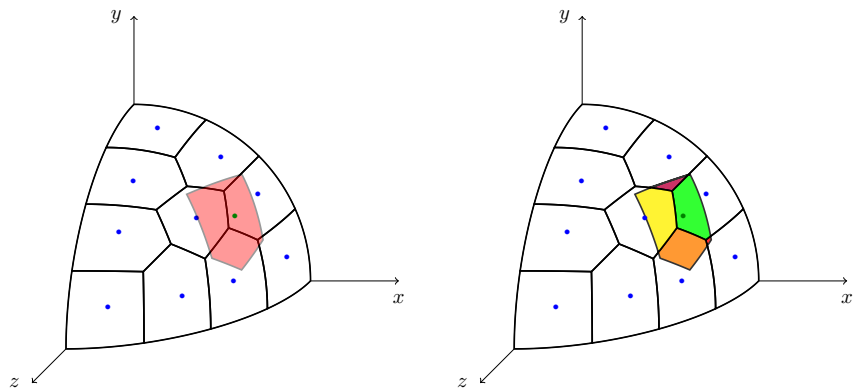


# Réflexion spéculaire dans la littérature



Interpolation linéaire [TTSP - Gao - 2012]

# Intersection d'angles solides



Distribution **exactement** proportionnelle de l'angle solide

# Conditions aux limites discrètes

## Formulation continue

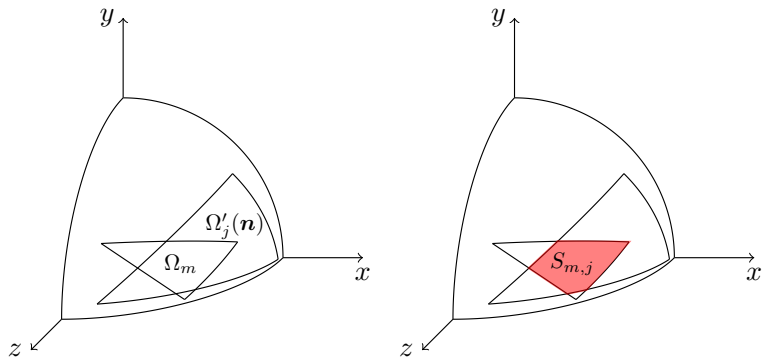
$$L(\mathbf{x}, \mathbf{s}) = \tilde{L}(\mathbf{x}, \mathbf{s}) + \rho(\mathbf{s} \cdot \mathbf{n})L(\mathbf{x}, \zeta(\mathbf{s}))$$

pour  $\mathbf{s} \cdot \mathbf{n} < 0$

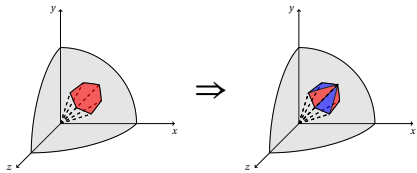
## Formulation discrète

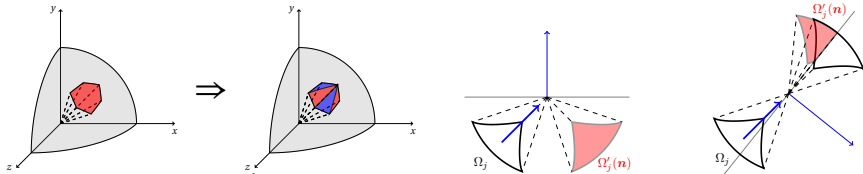
$$L_m(\mathbf{x}) = \tilde{L}_m + \delta_{m,m}(\mathbf{n})L_m + \sum_{j \neq m} \delta_{m,j}(\mathbf{n})L_j$$

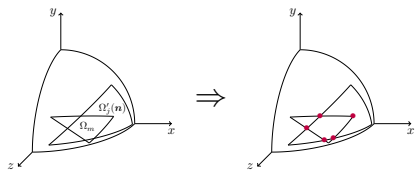
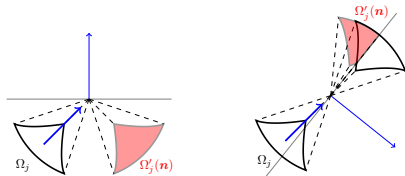
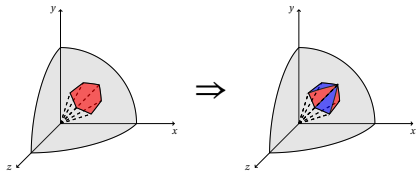
pour  $\mathbf{s}_m \cdot \mathbf{n} < 0$

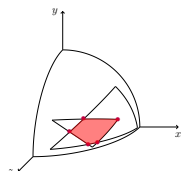
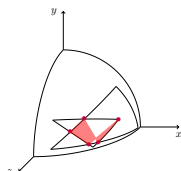
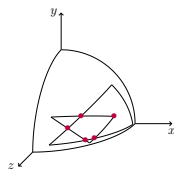
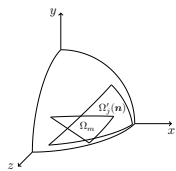
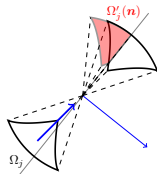
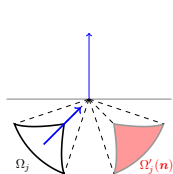
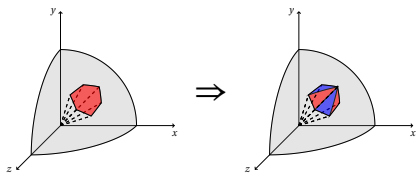
Calcul des coefficients  $\delta_{m,j}(\mathbf{n})$ 

$$\delta_{m,j}(\mathbf{n}) = \rho(\mathbf{s}_m \cdot \mathbf{n}) \frac{S_{m,j}}{\Omega_m} \quad , \quad \delta_{m,m}(\mathbf{n}) = \rho(\mathbf{s}_m \cdot \mathbf{n}) \left[ 1 - \sum_{j \neq m} \delta_{m,j}(\mathbf{n}) \right]$$

Construction des  $S_{m,j}$ 

Construction des  $S_{m,j}$ 

Construction des  $S_{m,j}$ 

Construction des  $S_{m,j}$ 



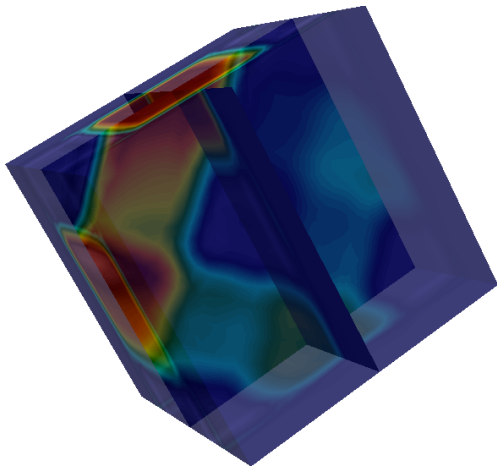
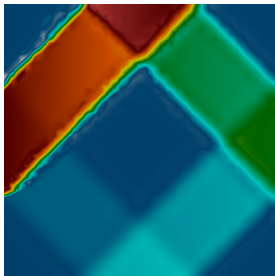
Formulation faible de  $(\text{SDS}_m)$  par la méthode SUP-G

$$\begin{aligned}
& \int_{\mathcal{D}} (\mathbf{s}_m \cdot \nabla L_m) (\mathbf{s}_m \cdot \nabla v) \, d\mathbf{x} - \int_{\mathcal{D}} \tilde{\beta}_m (\mathbf{s}_m \cdot \nabla L_m) v \, d\mathbf{x} \\
& + \int_{\partial\mathcal{D}^{m+}} \tilde{\beta}_m L_m v (\mathbf{s}_m \cdot \mathbf{n}) \, d\Gamma + \int_{\partial\mathcal{D}^{m-}} \tilde{\beta}_m \delta_{m,m}(\mathbf{n}) L_m v (\mathbf{s}_m \cdot \mathbf{n}) \, d\Gamma \\
& - \sum_{j \neq m} \left[ \omega_j \Phi_{m,j} \int_{\mathcal{D}} \sigma_s L_j (\mathbf{s}_m \cdot \nabla v) \, d\mathbf{x} + \int_{\partial\mathcal{D}^{m-}} \tilde{\beta}_m \delta_{m,j}(\mathbf{n}) L_j v (\mathbf{s}_m \cdot \mathbf{n}) \, d\Gamma \right] \\
& = - \int_{\partial\mathcal{D}^{m-}} \tilde{\beta}_m \tilde{L}_m v (\mathbf{s}_m \cdot \mathbf{n}) \, d\Gamma + \int_{\mathcal{D}} \kappa L_b (\mathbf{s}_m \cdot \nabla v) \, d\mathbf{x}
\end{aligned}$$

# Plan

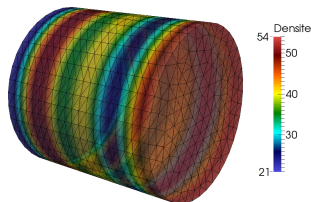
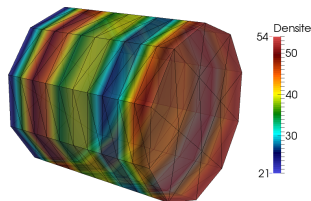
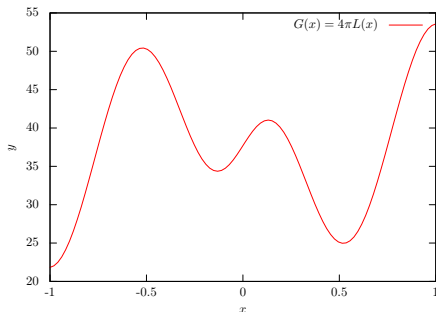
- 1 Objectifs
- 2 Modèle mathématique
- 3 Construction du modèle numérique
- 4 Validation

# De la 2D à la 3D



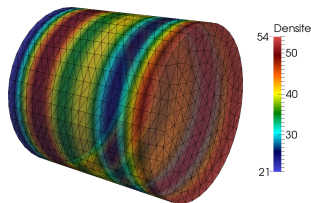
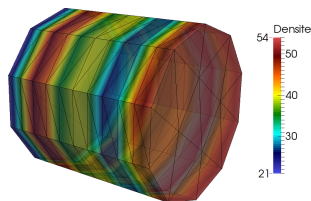
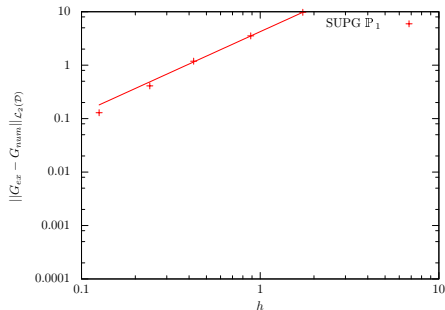
# Comparaison analytique

$$\left\{ \begin{array}{l} L(\mathbf{x}) = \arctan(\pi x) \cos(2\pi x) + 3 \\ \kappa L_b = \mathbf{s} \cdot \nabla L(\mathbf{x}) + \kappa L(\mathbf{x}) \\ G(\mathbf{x}) = \int_{4\pi} L(\mathbf{x}, \mathbf{s}) \, d\Omega(\mathbf{s}) = 4\pi L(\mathbf{x}) \\ \kappa = 0.5 \text{cm}^{-1}, \quad \sigma_s = 1 \text{cm}^{-1}, \quad g = 0.8 \end{array} \right.$$



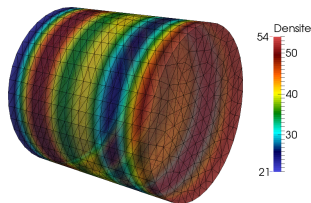
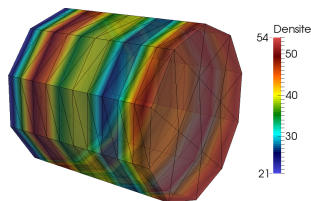
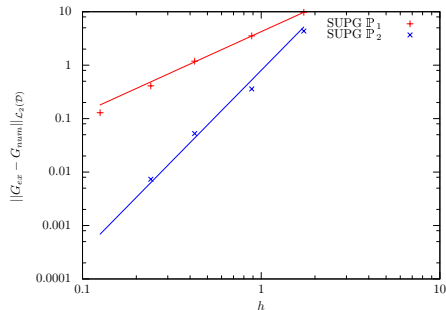
# Comparaison analytique

$$\left\{ \begin{array}{l} L(\mathbf{x}) = \arctan(\pi x) \cos(2\pi x) + 3 \\ \kappa L_b = \mathbf{s} \cdot \nabla L(\mathbf{x}) + \kappa L(\mathbf{x}) \\ G(\mathbf{x}) = \int_{4\pi} L(\mathbf{x}, \mathbf{s}) \, d\Omega(\mathbf{s}) = 4\pi L(\mathbf{x}) \\ \kappa = 0.5 \text{cm}^{-1}, \quad \sigma_s = 1 \text{cm}^{-1}, \quad g = 0.8 \end{array} \right.$$



# Comparaison analytique

$$\left\{ \begin{array}{l} L(\mathbf{x}) = \arctan(\pi x) \cos(2\pi x) + 3 \\ \kappa L_b = \mathbf{s} \cdot \nabla L(\mathbf{x}) + \kappa L(\mathbf{x}) \\ G(\mathbf{x}) = \int_{4\pi} L(\mathbf{x}, \mathbf{s}) \, d\Omega(\mathbf{s}) = 4\pi L(\mathbf{x}) \\ \kappa = 0.5 \text{cm}^{-1}, \quad \sigma_s = 1 \text{cm}^{-1}, \quad g = 0.8 \end{array} \right.$$



# Comparaison sur des grandeurs physiques

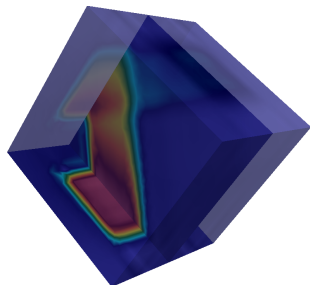
avec la méthode Monte-Carlo

## Transmittance normale-hémisphérique FEM

$$T_{nh} = \frac{\sum_{\mathbf{s}_m \cdot \mathbf{n}_k > 0} \int_{\partial\Gamma_c} (1 - \rho_{21}(\mathbf{s}_m)) \omega_m L_m(\mathbf{s}_m \cdot \mathbf{n}_k)}{\int_{\partial\Gamma_{in}} \frac{1}{1 - \rho_{12}(\mathbf{s}_{in})} \omega_{in} \tilde{L}_{in} |\mathbf{s}_{in} \cdot \mathbf{n}_{in}|}$$

## Transmittance normale-hémisphérique Monte-Carlo

$$T_{nh} = \frac{\text{Nombre de photons capturé}}{\text{Nombre de photons total}}$$

Source carrée avec une direction de  $\frac{\pi}{4}$ 

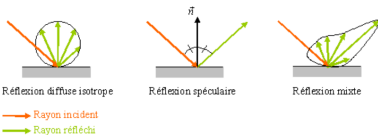
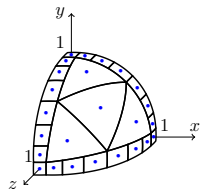
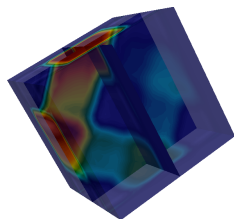
- $\kappa = 0.1\text{cm}^{-1}$
- $\sigma_s = 0.5\text{cm}^{-1}$
- $g = 0$
- $n_2 = 1.4$
- 1 000 000 photons

$T_{nh}/R_{nh}$	FEM	$E_{MC}(X)$	$\sigma_{MC}(X)$
Reflectance	$1.34 \times 10^{-1}$	$1.33 \times 10^{-1}$	$6.66 \times 10^{-4}$
Transmittance	$1.12 \times 10^{-1}$	$1.08 \times 10^{-1}$	$6.10 \times 10^{-4}$
Transmittance Latérale1	$7.64 \times 10^{-2}$	$7.55 \times 10^{-2}$	$5.18 \times 10^{-4}$
Transmittance Latérale2	$7.64 \times 10^{-2}$	$7.50 \times 10^{-2}$	$5.16 \times 10^{-4}$
Transmittance Latérale3	$3.47 \times 10^{-1}$	$3.26 \times 10^{-1}$	$9.19 \times 10^{-4}$
Transmittance Latérale4	$7.29 \times 10^{-2}$	$6.97 \times 10^{-2}$	$4.99 \times 10^{-4}$



# Conclusion

- Résolution de l'**ETR 3D** avec conditions **spéculaires** aux parois par la méthode d'**ordonnées discrètes** combinée avec une méthode **éléments finis**



Réflexion diffuse isotrope

Réflexion spéculaire

Réflexion mixte

→ Rayon incident  
→ Rayon réfléchi

- 3 **quadratures** angulaires dont une prometteuse pour l'**inversion**

- **Perspectives** : travailler sur les conditions de **réflexion mixte** [image : thèse 2008 Mathilde LORETZ]